

常州市教育学会学业水平监测

高三地理

说明：本试卷包括单项选择题、非选择题两部分。满分 100 分，考试时间为 75 分钟。

考生答题全部答在答题卡上，答在本试卷上无效。

一、单项选择题：共 23 题，每题 2 分，共 46 分。每题只有一个选项最符合题意。

建筑物朝向的选择，需考虑夏季尽量减少太阳照晒和有良好自然通风，同时冬季能获得充足太阳辐射。图 1 为“某省会城市二分二至日太阳视轨迹线和昼长示意图”。据此回答 1~3 题。

1. 该城市所属的省级行政区可能是
A. 琼 B. 闽 C. 苏 D. 冀
2. 冬至日，该地朝向南偏东 45° 的墙面可照时长大约
A. 6h B. 7h C. 8h D. 9h
3. 该城市建筑物的最佳朝向为
A. 南偏东 15°
B. 东偏南 15°
C. 南偏西 15°
D. 南偏东 30°

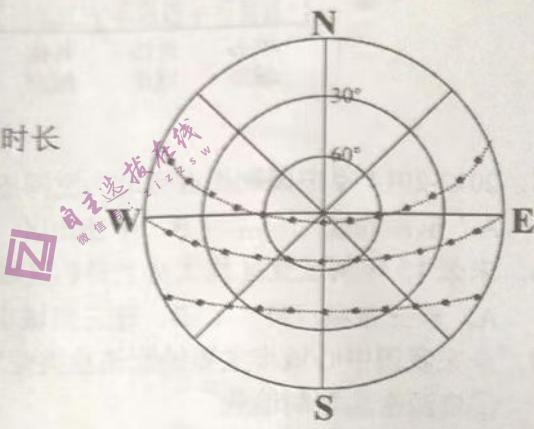


图 1

气压形势影响天气和气候。图 2 为“7 月某日北京时间 14:00 世界部分地区海平面天气图”。据此完成 4~6 题。

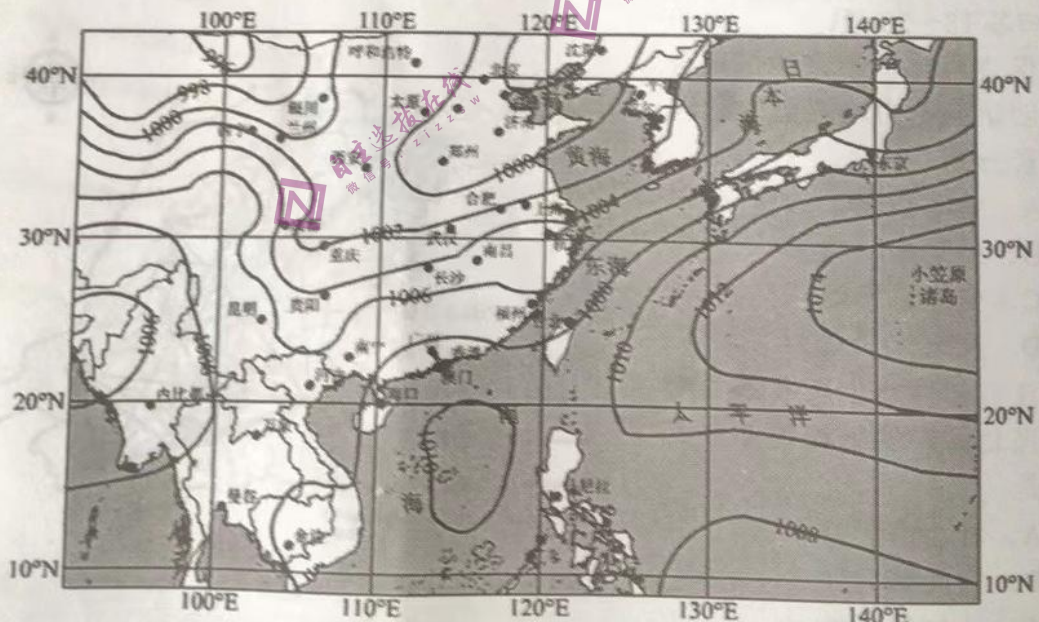


图 2

4. 图示区域内的气压差最大值可能为
 A. 19 hpa B. 20 hpa C. 21 hpa D. 22 hpa
5. 此时影响小笠原诸岛地区的气团性质是
 A. 冷干 B. 冷湿 C. 暖干 D. 暖湿
6. 该季节，我国大部分地区雾的发生频率特征及其主要原因是
 A. 高水汽充足，大气稳定 B. 低空气潮湿，对流旺盛
 C. 高冷锋频繁，降温较快 D. 低日温差小，逆温明显
 暖湿空气平流到较冷的下垫面上，水汽遇冷凝结形成平流海雾。图3为北极航道示意图。据此回答7~9题。

7. 下列月份中北极海冰覆盖面积最小的是
 A. 3~4月 B. 6~7月 C. 9~10月 D. 12~次年1月
8. 白令海峡附近平流海雾多发季节为
 A. 春季 B. 夏季 C. 秋季 D. 冬季
9. 与东北航道、中央航道相比，西北航道更需关注
 A. 低温寒冷 B. 狂风巨浪 C. 海雾弥漫 D. 复杂地形

约800年前长白山火山的喷发形成了大面积的裸地。熔岩裸地要经过长时期的风化侵蚀、积累水分和有机质等过程才能逐步形成与自然条件相适应的生物群落。目前北坡植被的垂直分异已较完整，其他坡向植被的垂直分异尚不明显或无分异。图4为“长白山火山灰、浮石分布示意图”。据此回答10~11题。

10. 北坡山麓地带植被的典型特征是
 A. 林木稀疏，矮曲成丛 B. 针阔混交，林相复杂
 C. 板根深埋，茎花点缀 D. 高山苔原，苔藓遍布
11. 与长白山北坡相比，东坡植被垂直分异不明显的主要原因是
 A. 坡度差异使得沉积不同 B. 不同坡向太阳光照不同
 C. 裸地演化所需时间不同 D. 不同坡向水分条件不同

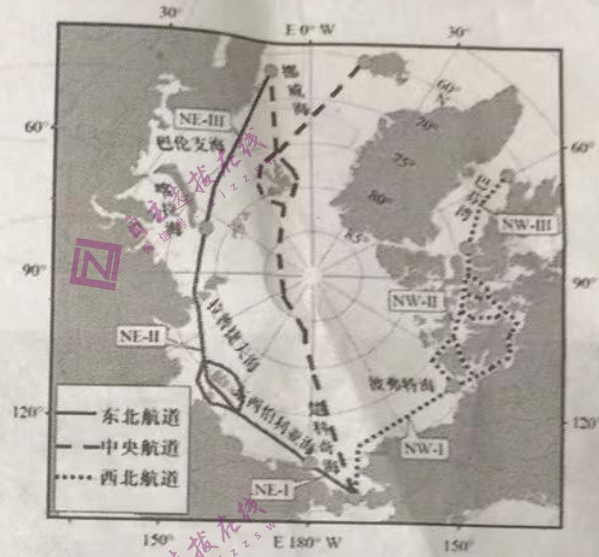


图3

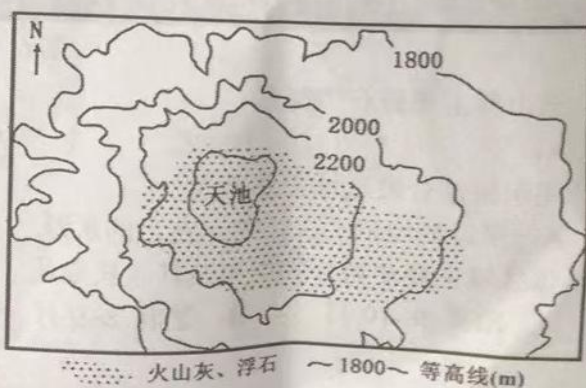


图4

卓尔山属于祁连山脉的一条支脉，坐落在青海省海北藏族自治州祁连县八宝河北岸，主要由红色砂岩、砾岩组成。图5为岩石圈物质循环示意图，甲乙丙丁为岩浆和三大类岩石。图6为“卓尔山局部及周边地理风光图”。据此回答12~14题。

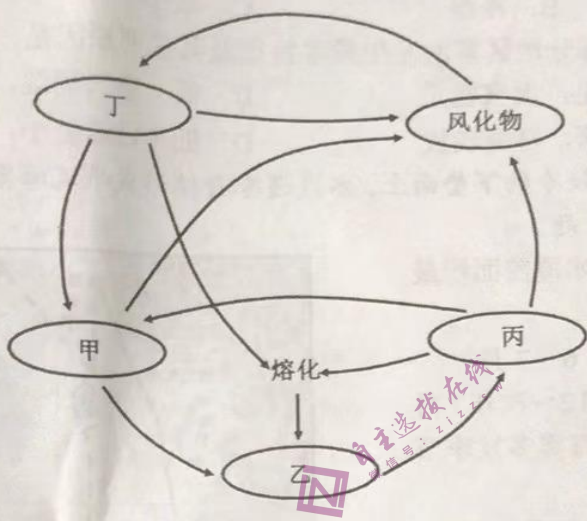


图5

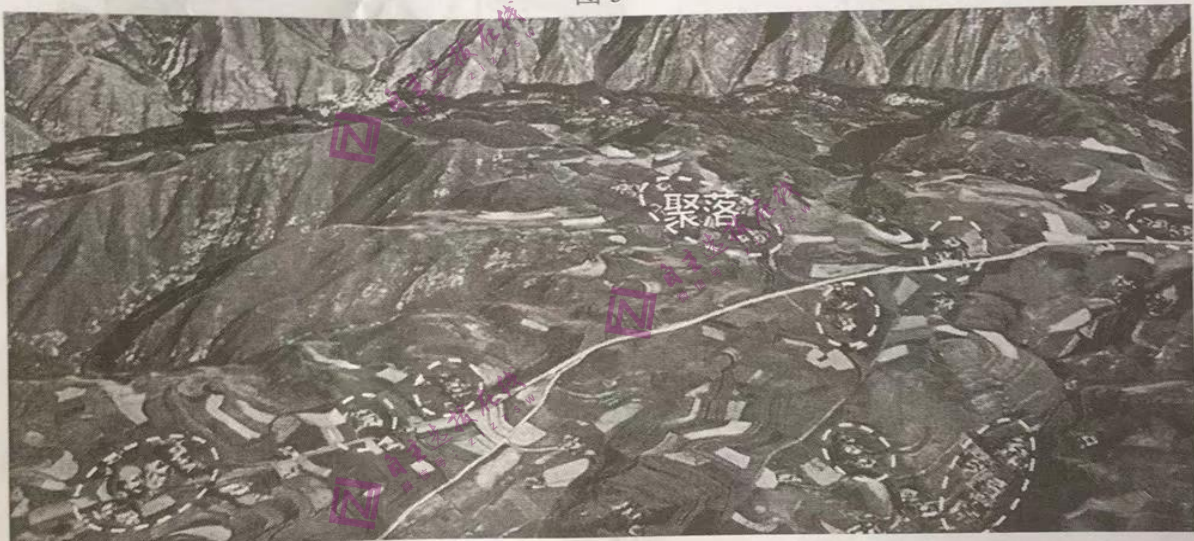


图6

12. 该山体主要岩石类型是
A. 甲 B. 乙 C. 丙 D. 丁
13. 图示聚落分散选址主要考虑
A. 平坦的地形 B. 充足的水源 C. 交通出行便利 D. 方便土地管理
14. 该区域主要油料作物类型及其收获期是
A. 油菜 9~10月 B. 芝麻 8~9月 C. 花生 6~7月 D. 油茶 7~8月

图7为“2012-2014年中国制造业劳动力空间流动的地区分布图”。据此回答15~17题。

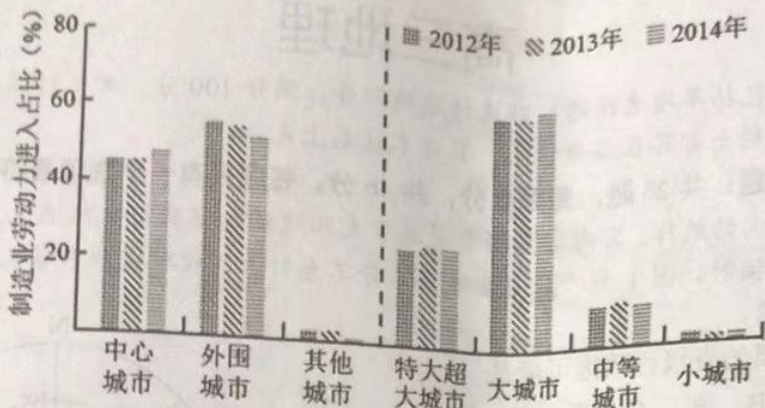


图7

15. 2012-2014年中国制造业劳动力空间流动主要目的地是
 A. 东部地区 B. 中部地区 C. 西部地区 D. 东北地区
16. 未来15年制造业区位优势上升的区域为
 A. 长三角城市群 B. 珠三角城市群 C. 京津冀城市群 D. 中原城市群
17. 未来我国中心城市主要的制造业类型为
 ①资源密集型制造业 ②技术密集型制造业
 ③资本密集型制造业 ④劳动力密集型制造业
 A. ①② B. ①③ C. ②③ D. ③④

江苏省形成了以苏州和南京为核心的创新辐射体系，但由于创新能力、创新环境等差异，各市创新发展并不均衡。图8为“2017年江苏省城市创新联系网络结构图”。据此回答18~20题。

18. 促进苏州、南京城市综合
创新竞争力增强的主导因
素分别是

- A. 地理位置、政策
 B. 劳动力、政策
 C. 交通、市场
 D. 交通、劳动力

19. 江苏省城市创新联系“南
强北弱”的制约条件主要
是

- A. 社会邻近性
 B. 空间邻近性
 C. 认知邻近性
 D. 制度邻近性



图8

20. 江苏省拟构建更加完善的全域城市创新联系网络，其主要目的是
- A. 优化城市的空间结构
 - B. 降低信息流通的成本
 - C. 加快同城化进程
 - D. 促进区域一体化发展

挪威 2020 年纯电动汽车销量占 54.3%，充电桩覆盖率居全球之首。W 智能电动汽车公司目前在上海、合肥、北京、南京、圣何塞、慕尼黑、牛津以及奥斯陆等地设立了研发与生产机构。图 9 为该公司在全国布局的充换电站点地图。据此回答 21~23 题。

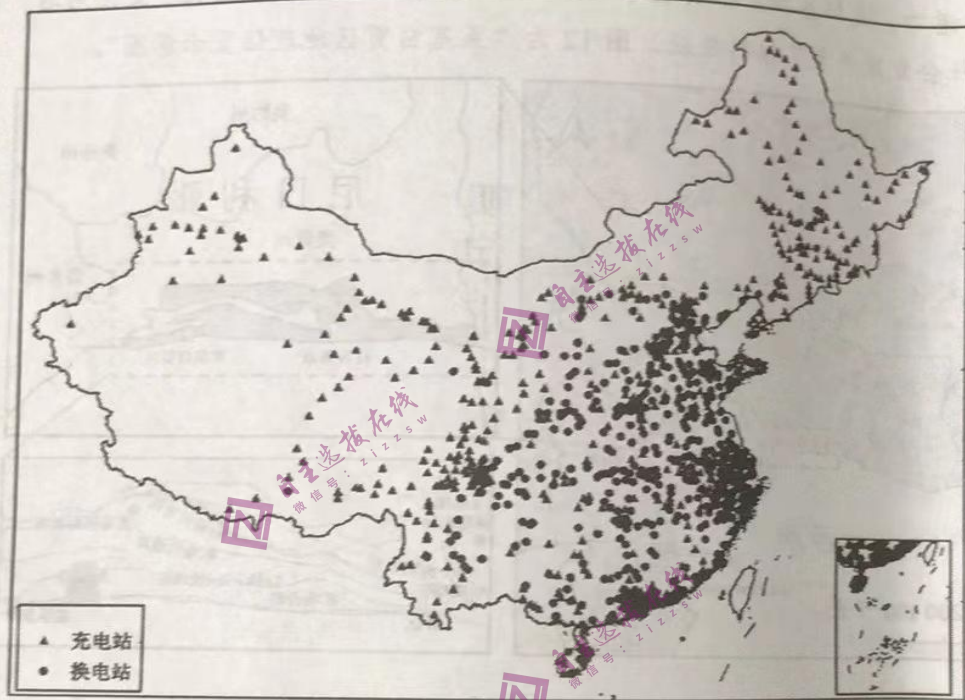


图 9

21. 图中充换电站的总体分布特征是
- ①东密西疏
 - ②大城市群地区分布集中
 - ③沿主要公路线分布
 - ④趋近旅游景点布局
- A. ①②③ B. ①②④ C. ①③④ D. ②③④
22. 近年来，W 智能电动汽车进入欧洲市场，首先选择在了挪威，其重点考虑了该国
- A. 工业基础雄厚 B. 经济发展水平 C. 政府政策导向 D. 水电资源禀赋
23. 合肥基地的战略定位主要是
- A. 全球量产车研发中心 B. 整车先进制造基地
C. 车用电池制造基地 D. 全球软件研发中心

二、非选择题：共3题，共54分。

24. 阅读材料，回答下列问题。（16分）

材料一 三工河流域位于天山北麓中段东部，准噶尔盆地南缘，由四工河、三工河和水磨河组成。流域内地势南高北低。图10为“天山北坡三工河流域示意图”。

材料二 流域内南部山区可分为高山带（>2700m）、中山带（1600~2700m）和低山丘陵带（700~1600m）。山地针叶林主要分布在中山带，高山灌丛草甸主要分布高山带。表1为“三工河流域南部山区森林带内不同海拔气候指标统计表”。

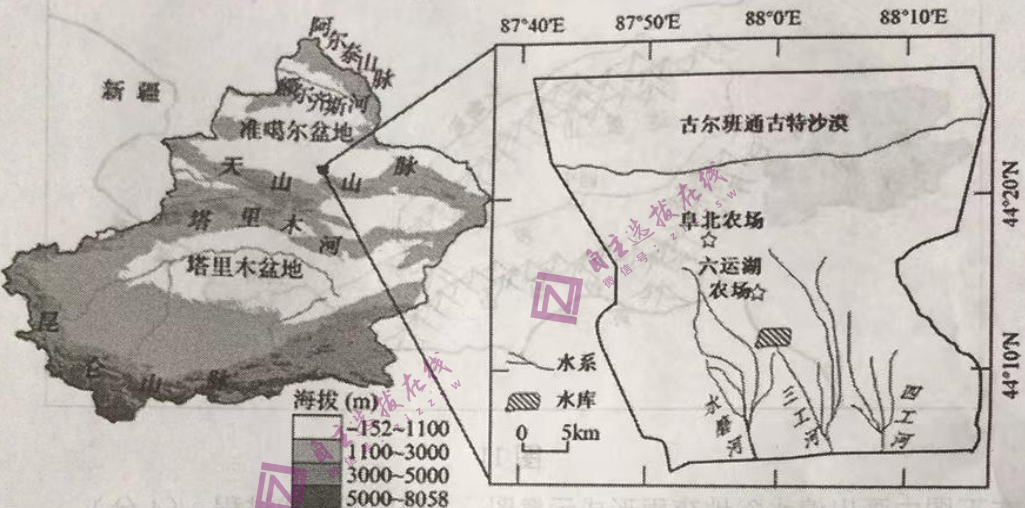


图10

表1

海拔/m	年均温/°C	7月均温/°C	1月均温/°C	年降水量/mm
1500	4.76	18.98	-11.91	388
2000	2.82	15.06	-11.75	543
2200	1.70	13.82	-12.17	528
2600	-0.54	11.34	-13.01	495
2700	-1.10	10.72	-13.22	489

(1) 描述南部山区局地气候随海拔的变化特征。(6分)

(2) 简述三工河流域河流的水情特征，并说明其对农业生产的影响。(6分)

(3) 分析该地南部山区中山带广泛分布有山地针叶林的自然原因。(4分)

25. 阅读材料，回答下列问题。（18分）

材料一 青藏铁路是一条连接青海省西宁市至西藏自治区拉萨市的国铁I级铁路。2023年7月1日起，时速160公里的复兴号动车组开始在青藏铁路西宁至格尔木段正式投入运营，青藏铁路西格段进入“动车时代”。

材料二 受地形影响，湟水谷地风向具有明显的日变化特征。图11为“湟水谷地位置示意图”。

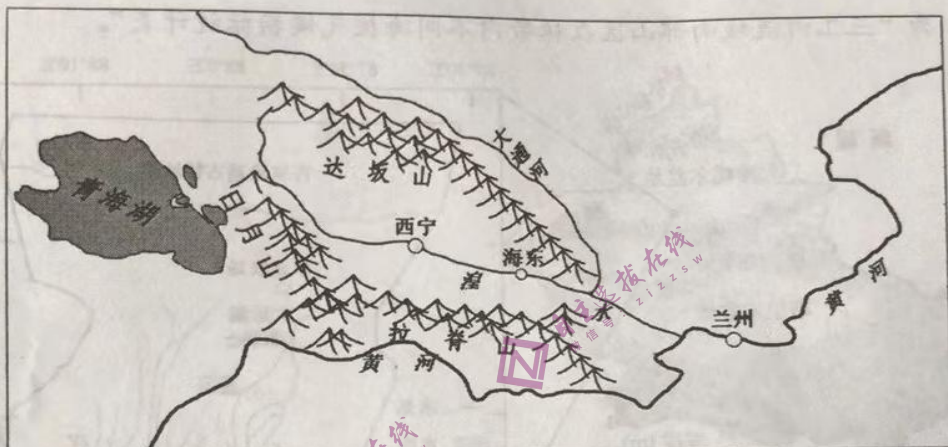
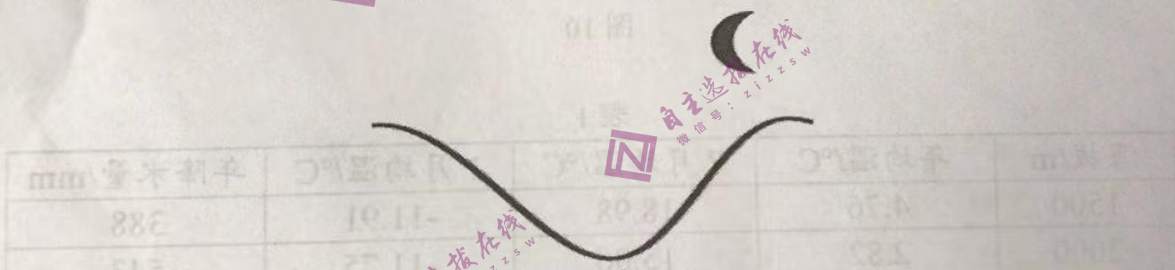


图 11

(1) 在下图中画出湟水谷地夜雨形成示意图，并说明其形成过程。（4分）



(2) 比较日月山东西两侧主要的农业生产类型，并分析其自然原因。（8分）

地理位置	主要的农业生产类型	自然原因
日月山东侧		
日月山西侧		

(3) 说明西格段进入“动车时代”对促进青藏地区交通运输业发展的作用。（6分）

26. 阅读材料，回答下列问题。（20分）

材料一 尼日利亚人口众多、经济规模大，海运港和航空港发达，是中国商品进入非洲的集散地，已与欧盟、美国签订多个贸易协议。该国贸易结构较为单一，石油工业是国民经济的支柱，主要出口商品为能矿产品，其中原油出口占据主导地位。

材料二 尼日利亚莱基自由贸易区是中国政府批准的国家级境外经贸合作区，位于尼日利亚经济首都拉各斯东南部的莱基半岛，临近拉各斯市区、拉各斯国际机场和APAPA 港口，是拉各斯正在发展中的新兴卫星城，对区域经济增长、文化沟通、技术创新和社会发展产生了辐射效应。图 12 为“莱基自贸区地理位置示意图”。

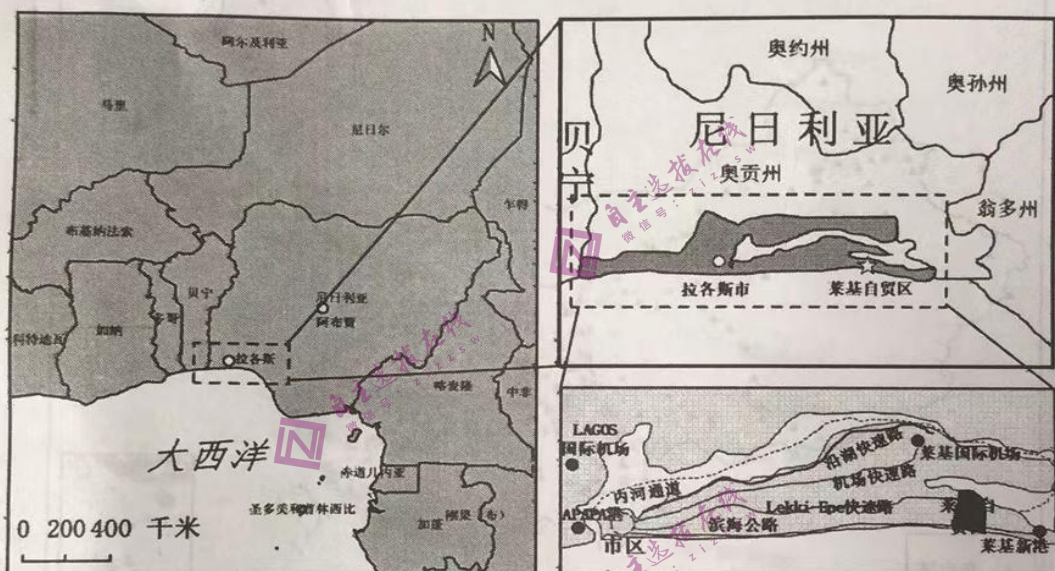


图 12

- (1) 简述该国出口商品中原油占比巨大的原因以及潜在的风险。（6分）
- (2) 分析莱基自由贸易区的地理位置优势。（6分）
- (3) 说明莱基自由贸易区对周边区域的辐射作用。（8分）